

07;12

(C) 1991

## ТОНКИЕ ПЛЕНКИ $VO_2$ С ВЫСОКИМ ОПТИЧЕСКИМ КОНТРАСТОМ

Ф.А. Егоров, Ю.Ш. Темиров,  
 В.Ф. Дворянкин, В.Т. Потапов,  
 А.А. Соколовский

Пленки диоксида ванадия ( $VO_2$ ) благодаря значительным изменениям оптических свойств при фазовом переходе ( $\Phi\text{П}, T_h \sim 68^\circ\text{C}$ ) типа полупроводник–металл представляют большой интерес для создания устройств оптоэлектроники [1], в том числе волоконно-оптических датчиков [2]. Для получения высоких технических характеристик таких устройств требуются пленки  $VO_2$  с высоким контрастом оптических свойств. Этим, в частности, объясняется интенсивный поиск новых и оптимизация известных технологий получения пленок  $VO_2$ , исследование и разработка многослойных структур на основе этих пленок [3]. Так, нанесение на пленку  $VO_2$  слоя металла–отражателя позволяет получить контраст на отражение  $R_s/R_m \approx 16\text{--}40$ , где  $R_{s,m}$  – коэффициенты отражения такой структуры соответственно, в полупроводниковой ( $s$ ) и металлической ( $m$ ) фазах [4, 5]. Времена переключения пленки из одного состояния в другое существенно зависят от ее эффективной теплоемкости (учитывающей скрытую теплоту  $\Phi\text{П}$ ), которая пропорциональна объему пленки. Поэтому для повышения быстродействия целесообразно использовать тонкие сплои  $VO_2$ .

В данной работе представлены некоторые результаты исследования тонких пленок  $VO_2$  (толщиной  $\sim 100\text{--}200 \text{ \AA}$ ) на которых наблюдается высокий оптический контраст на отражение.

Пленки  $VO_2$  получались на торце многомодового световода из кварцевого стекла в 2 этапа. В отличие от [6], пиролиз ацетил-ацетоната ванадила использовался нами на первом этапе для получения слоев  $V_6O_{13}$  (образование  $V_6O_{13}$  подтверждалось электронографически). На втором этапе полученные таким образом слои  $V_6O_{13}$  отжигались в атмосфере азота в течение 5–10 мин и при этом восстанавливались до  $VO_2$ . Оба этапа, как процесс осаждения слоя  $V_6O_{13}$ , так и процесс восстановления его до  $VO_2$ , непрерывно контролировались по отраженному от слоя излучению. Для этого использовался многомодовый волоконно-оптический „Y“–ответвитель, в одну ветвь которого вводилось излучение полупроводникового излучателя ИЛПН-301-1 ( $\lambda = 0.85 \text{ мкм}$ ), а по другой ветви отраженный сигнал принимался фотоприемником; пленка  $V_6O_{13}$  осаждалась на торце общего канала ответвителя.

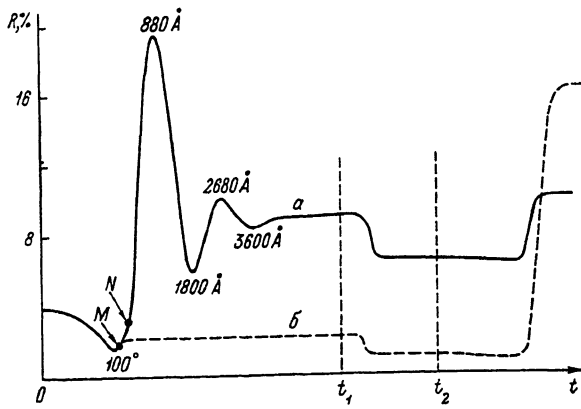


Рис. 1. Временные зависимости коэффициентов отражения  $R(t)$  на длине волны  $\lambda = 0.85$  мкм на стадиях роста  $V_6O_{13}$  ( $0-t_1$ ); восстановления  $V_6O_{13} \rightarrow VO_2$  и отжига ( $t_1-t_2$ ); остывания ( $t>t_2$ ). Кривая а - для „толстых” пленок, б - для тонких (150–200 Å) пленок.

На рис. 1 приведены временные зависимости коэффициента отражения  $R(t)$ , записанные на двухкоординатном потенциометре в процессе роста слоя  $V_6O_{13}$  и восстановления его до  $VO_2$ . Видно, что кривая  $R(t)$  (рис. 1, а) имеет ряд интерференционных экстремумов, уменьшающихся по мере нарастания слоя и исчезающих при толщинах, превышающих 5000 Å (случай „толстых” пленок). Калибровку измерительной схемы проводили по известному значению  $R = 4\%$  от границы стекло–воздух. Совокупность экстремальных и предельных значений  $R(t)$  интерференционной кривой на стадии роста  $V_6O_{13}$  позволила вычислить оптические показатели слоев ( $n = 2.35$ ;  $k = 0.70$ ), а также их толщины в точках экстремума, показанные на кривой а. Примечательно, что найденные таким образом значения  $n$  и  $k$  для слоев  $V_6O_{13}$  хорошо согласуются с измеренными значениями их для монокристалла  $V_6O_{13}$  [7]. В соответствии с рис. 1, рост слоя  $V_6O_{13}$  происходит практически линейно во времени со скоростью  $\approx 500$  Å/мин.

Поскольку плотности  $V_6O_{13}$  и  $VO_2$  известны [8], то для определения толщины полученных пленок  $VO_2$  достаточно знать  $R$  слоя  $V_6O_{13}$  в момент прекращения его осаждения. При этом, по нашим оценкам, ошибка в определении толщины не превышает 10 %. Приведенные на рис. 1 кривые  $R(t)$  показывают, что превращение  $V_6O_{13} \rightarrow VO_2$  сопровождается резким и значительным изменением  $R$ , а последующий отжиг в течение 5–10 мин. практически не изменяет  $R$ , что свидетельствует о стабилизации фазы и окончании процесса превращения. На полученных таким образом пленках  $VO_2$  ФП (с контрастом  $R_s/R_m \sim 2-3$ ) наблюдался при достаточно малых толщинах ( $\approx 100$  Å), что согласуется с [9]. Более тонкие пленки

Рис. 2. Температурные зависимости коэффициентов отражения  $R(T)$  (A, B) и пропускания  $\Pi(T)$  ( $A'$ ,  $B'$ ) для пленок  $VO_2$  с толщинами: кривые A и  $A'$  - 150 Å, B и  $B'$  - 200 Å.

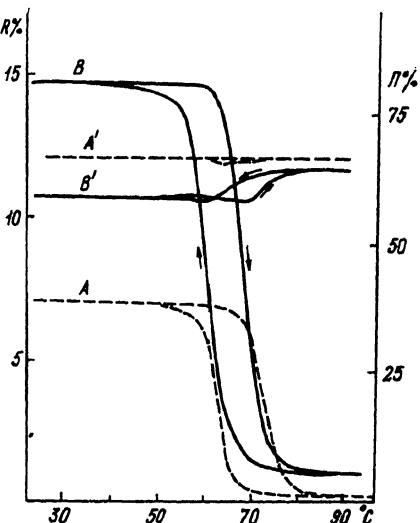
$VO_2$  в настоящей работе не исследовались. Наибольший контраст  $R_s/R_m$  наблюдался на пленках  $VO_2$  при завершении процесса осаждения  $V_6O_{13}$  на участке MN кривой  $a$ , соответствующем толщинам 150–200 Å, и составлял  $R_s/R_m \approx 15-25$ . Кривая  $b$  на рис. 1 представляет типичную зависимость  $R(t)$  для таких пленок.

Температурные зависимости коэффициентов отражения  $R(\tau)$  и пропускания  $\Pi(\tau)$ , характерные для рассматриваемых пленок  $VO_2$ , представлены на рис. 2. Видно, что пленки  $VO_2$  имеют довольно высокое пропускание  $\Pi \sim 60\%$ , которое при ФП изменяется незначительно. Температурный гистерезис и температурная протяженность ФП составляют соответственно  $\sim 10$  °C и 10 °C. Численные расчеты величин  $R$  и  $\Pi$  для рассматриваемых структур (при толщинах пленок  $VO_2$ , приведенных на рис. 2) в зависимости от оптических показателей  $n$  и  $k$  пленок показывают, что совпадение вычисленных и измеренных значений  $R$  и  $\Pi$  имеет место при следующем выборе оптических показателей:  $n_s \approx 3.1$ ;  $k_s \approx 0.4$  и  $n_m \approx 2.1$ ;  $k_m \approx 0.6$ . Полученные нами значения оптических показателей являются промежуточными между данными для пленок стехиометричной  $VO_2$  [10], и нестехиометричной, содержащей небольшое количество  $V_2O_5$ , наличие которой, согласно [11], повышает контраст оптических показателей. Возможно, в полученных нами пленках также присутствует некоторое количество  $V_2O_5$ , которое, вероятно, образуется при термической обработке  $V_6O_{13}$ .

Таким образом, в настоящей работе показана возможность получения на торце волоконных световодов пленок  $VO_2$ , обладающих высоким оптическим контрастом на отражение –  $R_s/R_m \approx 15-25$ ,  $\lambda = 0.85$  мкм весьма малой толщины и без нанесения дополнительных промежуточных слоев.

#### Список литературы

- [1] Гарбузов Д.З., Зайцев С.В., Пташник В.Б., Тарасов И.С., Чудновский Ф.А. // ЖТФ. 1989. Т. 59. В. 10. С. 83–87.



- [2] Дворянкин В.Ф., Егоров Ф.А., Потапов В.Т., Соколовский А.А., Темиров Ю.Ш. // Письма в ЖТФ. 1989. Т. 15. В. 12. С. 46–50.
- [3] Бочоришвили Н.Ф. Управляемое лазерное зеркало на основе двуокиси ванадия. Автореф. дис. Л., 1990.
- [4] Balberg I., Trakman S. // J Appl. Phys. 1975. V. 46. N 5. P. 2111–2119.
- [5] Чудновский Ф.А. Фазовый переход металл–полупроводник в окислах ванадия. Автореф. дис. Л., 1978.
- [6] Сербино И.А. Получение, свойства и применение пленок окислов. Автореф. дис. М., 1977.
- [7] Van Hove W., Claus P., Vennik J. // Solid State Commun. 1980. V. 33. N 1. P. 11–16.
- [8] Ralph W.G., Wyckoff – Crystall structure. Interscience Publishers. New York, London, Sydney. 1969. V. 1, 2.
- [9] Горшунов Б.П., Репина И.И., Стефанович Г.Б., Терман М.Ю., Чудновский Ф.А. // ЖТФ. 1986. Т. 56. В. 9. С. 1845–1849.
- [10] Hauss W. Verleuer, Barker A.S., Berglund C.N. // Phys. Rev. 1968. V. 172. N 3. P. 788–798.
- [11] Беляков В.И., Дмитриев В.А., Корнетов В.Н., Мокроусов В.В., Орлов Л.А. // Автометрия. 1981. № 5. С. 114–118

Поступило в Редакцию  
19 июля 1990 г.  
В окончательной редакции  
21 марта 1991 г.

Письма в ЖТФ, том 17, вып. 8

26 апреля 1991 г.

01; 02; 05

© 1991

## СОУДАРЕНИЕ МАКРОСКОПИЧЕСКОГО ОБЪЕМА АНТИВЕЩЕСТВА С ВЕЩЕСТВОМ

Я.И. Азимов, М.Я. Амусья,  
М.Л. Шматов

Показано, что при ударе твердого тела из антиводорода ( $\bar{H}$ ) с характерными размерами порядка 1 мм о поверхность твердого водорода со скоростью порядка 10 км/с произойдет быстрая аннигиляция значительной части  $\bar{H}$ , масса которой составляет десятки процентов от первоначальной. Это связано с высокой прозрачностью  $\bar{H}$  для продуктов аннигиляции, расталкивающих вещество и антивещество.